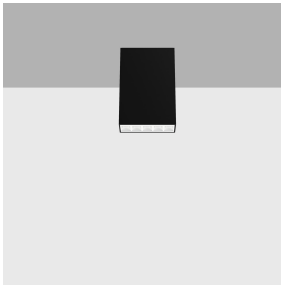


Ultimo aggiornamento delle informazioni: Ottobre 2024

Configurazione di prodotto: QI72
 QI72: Plafone lineare GL Pro - 5 celle



Codice prodotto

QI72: Plafone lineare GL Pro - 5 celle

Descrizione tecnica

Apparecchio per installazione a soffitto a 5 elementi ottici per sorgenti LED - ottiche fisse con riflettori Opti-Beam ad alta definizione in termoplastico metallizzato. Nonostante le dimensioni minime del prodotto, la tecnologia brevettata del sistema ottico garantisce un elevato flusso luminoso ottimizzato da uno speciale filtro diffusore in grado di limitare sensibilmente l'abbagliamento diretto. Corpo principale e gruppo tecnico di dissipazione in alluminio estruso - piastra di fissaggio in acciaio sagomato. Driver elettronico dimmerabile DALI integrato nel corpo dell'apparecchio.

Installazione

A soffitto con piastra di fissaggio a superficie (viti e tasselli non inclusi) - sistema di bloccaggio esterno.

Colore

Bianco (01) | Nero/Bianco (F2)

Peso (Kg)

0.45

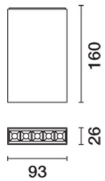
Montaggio

a soffitto

Cablaggio

Cavi in dotazione con morsetti ad innesto rapido per collegamenti alla linea di alimentazione.

Soddisfa EN60598-1 e relative note



Dati tecnici

| | | | |
|--|---------------------------------|--|--|
| Im di sistema: | 635 | Voltaggio [Vin]: | 230 |
| W di sistema: | 12.5 | Codice lampada: | LED |
| Im di sorgente: | 920 | Numero di lampade per vano ottico: | 1 |
| W di sorgente: | 10 | Codice ZVEI: | LED |
| Efficienza luminosa (lm/W, dati di sistema): | 50.8 | Numero di vani ottici: | 1 |
| Im in modalità emergenza: | - | Power factor: | Vedi istruzioni di installazione |
| Flusso totale emesso a 90° o superiore [Lm]: | 0 | Corrente di spunto (in-rush): | 5 A / 50 µs |
| Light Output Ratio (L.O.R.) [%]: | 69 | Massimo numero di apparecchi collegabili a ogni interruttore automatico: | B10A: 31 apparecchi B16A: 50 apparecchi C10A: 52 apparecchi C16A: 85 apparecchi |
| CRI (minimo): | 90 | % minima di dimmerazione: | 1 |
| Temperatura colore [K]: | 2700 | Protezione alle sovratensioni: | 3kV Modo comune e 2kV Modo differenziale |
| MacAdam Step: | 2 | Control: | DALI-2 |
| Life Time LED 1: | > 50,000h - L80 - B10 (Ta 25°C) | | |

Polare

| | | | | | |
|--|---|------------|----------|-----------|-------------|
| <p>Imax=762 cd 90° 180° 90° 750 0° α=54°</p> | <p>CIE nL 0.69 88-98-100-100-69 UGR 21.9-21.9 DIN A.61 UTE 0.69A+0.00T F*1=877 F*1+F*2=981 F*1+F*2+F*3=997</p> | Lux | | | |
| | | h | d | Em | Emax |
| | | 1 | 1 | 565 | 762 |
| | | 2 | 2 | 141 | 191 |
| | | 3 | 3.1 | 63 | 85 |
| 4 | 4.1 | 35 | 48 | | |

Coefficienti di utilizzazione

| R | 77 | 75 | 73 | 71 | 55 | 53 | 33 | 00 | DRR |
|------|----|----|----|----|----|----|----|----|-----|
| K0.8 | 58 | 54 | 51 | 49 | 54 | 51 | 51 | 48 | 69 |
| 1.0 | 62 | 58 | 55 | 53 | 57 | 55 | 54 | 52 | 75 |
| 1.5 | 66 | 63 | 61 | 59 | 62 | 60 | 60 | 57 | 83 |
| 2.0 | 69 | 66 | 65 | 63 | 65 | 64 | 63 | 61 | 88 |
| 2.5 | 70 | 68 | 67 | 66 | 67 | 66 | 65 | 63 | 92 |
| 3.0 | 71 | 70 | 69 | 68 | 69 | 68 | 67 | 65 | 94 |
| 4.0 | 72 | 71 | 70 | 70 | 70 | 69 | 68 | 66 | 96 |
| 5.0 | 73 | 72 | 71 | 71 | 71 | 70 | 69 | 67 | 97 |

Curva limite di luminanza

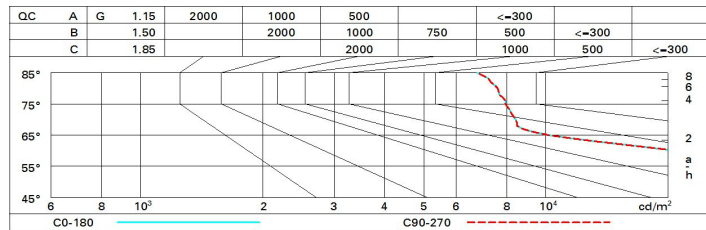


Diagramma UGR

| Corrected UGR values (at 920 lm bare lamp luminous flux) | | | | | | | | | | | |
|--|------|------------------|------|------|------|------------|----------------|------|------|------|------|
| Reflect.: | | viewed crosswise | | | | | viewed endwise | | | | |
| ceil/cav | | 0.70 | 0.70 | 0.50 | 0.50 | 0.30 | 0.70 | 0.70 | 0.50 | 0.50 | 0.30 |
| walls | | 0.50 | 0.30 | 0.50 | 0.30 | 0.30 | 0.50 | 0.30 | 0.50 | 0.30 | 0.30 |
| work pl. | | 0.20 | 0.20 | 0.20 | 0.20 | 0.20 | 0.20 | 0.20 | 0.20 | 0.20 | 0.20 |
| Room dim | | | | | | | | | | | |
| x | y | | | | | | | | | | |
| 2H | 2H | 22.0 | 22.6 | 22.3 | 22.8 | 23.1 | 22.0 | 22.6 | 22.3 | 22.8 | 23.1 |
| | 3H | 22.0 | 22.5 | 22.3 | 22.8 | 23.1 | 22.0 | 22.6 | 22.3 | 22.8 | 23.1 |
| | 4H | 21.9 | 22.5 | 22.3 | 22.8 | 23.1 | 21.9 | 22.5 | 22.3 | 22.8 | 23.1 |
| | 6H | 21.9 | 22.4 | 22.3 | 22.7 | 23.1 | 21.9 | 22.4 | 22.2 | 22.7 | 23.0 |
| | 8H | 21.9 | 22.4 | 22.3 | 22.7 | 23.0 | 21.8 | 22.3 | 22.2 | 22.6 | 23.0 |
| 12H | 21.9 | 22.3 | 22.3 | 22.7 | 23.0 | 21.8 | 22.2 | 22.2 | 22.6 | 22.9 | |
| 4H | 2H | 21.9 | 22.5 | 22.3 | 22.8 | 23.1 | 21.9 | 22.5 | 22.3 | 22.8 | 23.1 |
| | 3H | 21.9 | 22.4 | 22.3 | 22.7 | 23.1 | 22.0 | 22.4 | 22.3 | 22.8 | 23.1 |
| | 4H | 21.9 | 22.3 | 22.3 | 22.7 | 23.1 | 21.9 | 22.3 | 22.3 | 22.7 | 23.1 |
| | 6H | 21.9 | 22.3 | 22.4 | 22.7 | 23.1 | 21.9 | 22.2 | 22.3 | 22.6 | 23.1 |
| | 8H | 21.9 | 22.3 | 22.4 | 22.7 | 23.1 | 21.9 | 22.2 | 22.3 | 22.6 | 23.0 |
| 12H | 21.9 | 22.2 | 22.4 | 22.6 | 23.1 | 21.8 | 22.1 | 22.3 | 22.5 | 23.0 | |
| 8H | 4H | 21.9 | 22.2 | 22.3 | 22.6 | 23.0 | 21.9 | 22.3 | 22.4 | 22.7 | 23.1 |
| | 6H | 21.9 | 22.2 | 22.4 | 22.6 | 23.1 | 21.9 | 22.2 | 22.4 | 22.6 | 23.1 |
| | 8H | 21.9 | 22.1 | 22.4 | 22.6 | 23.1 | 21.9 | 22.1 | 22.4 | 22.6 | 23.1 |
| | 12H | 21.9 | 22.1 | 22.4 | 22.6 | 23.1 | 21.9 | 22.1 | 22.4 | 22.6 | 23.1 |
| 12H | 4H | 21.8 | 22.1 | 22.3 | 22.5 | 23.0 | 21.9 | 22.2 | 22.4 | 22.6 | 23.1 |
| | 6H | 21.9 | 22.1 | 22.3 | 22.6 | 23.1 | 21.9 | 22.1 | 22.4 | 22.6 | 23.1 |
| | 8H | 21.9 | 22.1 | 22.4 | 22.6 | 23.1 | 21.9 | 22.1 | 22.4 | 22.6 | 23.1 |
| Variations with the observer position at spacing: | | | | | | | | | | | |
| S = | 1.0H | 2.4 / -2.2 | | | | 2.4 / -2.2 | | | | | |
| | 1.5H | 4.5 / -4.7 | | | | 4.5 / -4.7 | | | | | |
| | 2.0H | 6.3 / -6.0 | | | | 6.3 / -6.0 | | | | | |